

3.4. Потенциальные барьеры.

3.4.1. Понятие потенциального барьера

Одномерный потенциальный барьер определяется зависимостью потенциальной энергии от координаты $U = U(x)$. Если на каком-то участке координаты x потенциальная энергия возрастает (или падает), то говорят об одномерной потенциальной ступеньке (см рис. 4.1).

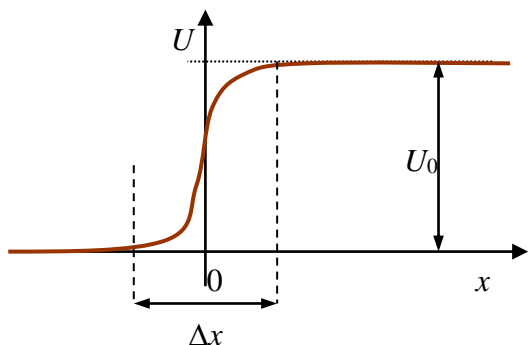


Рис. 4.1.

Рассматриваем такую задачу, когда на одномерную потенциальную ступеньку налетает частица с энергией E . При выполнении условия, что размер области изменения потенциальной энергии Δx мал по сравнению с длиной волны де Бройля налетающей частицы:

$$\Delta x \leq \frac{2\pi\hbar}{mv}, \quad (3.4.1)$$

можно считать барьер достаточно быстро растущим и заменить его прямоугольным потенциальным барьером (рис. 4.2):

$$U(x) = \begin{cases} 0, & x < 0 \\ U_0, & x \geq 0 \end{cases} \quad (3.4.2)$$

Напомним, что происходит при классическом рассмотрении этого процесса:

- 1) если энергия налетающей частицы $E < U_0$, тогда частица с достоверностью отражается от барьера и в правую область не проникает
- 2) если ее энергия $E > U_0$, тогда частица с достоверностью проходит над барьером и в правой области она движется с меньшей кинетической энергией $E_1 = E - U_0$ и меньшей скоростью $v = \frac{2}{m} \sqrt{E - U_0}$.

В рамках квантовомеханического рассмотрения решается уравнение Шредингера в области до потенциального порога $x < 0$ и после порога $x > 0$, а затем решения “сшиваются” на границе ($x = 0$).

3.4.2. Прямоугольная ступенька

Итак, пусть потенциальная энергия имеет вид прямоугольной ступеньки (3.4.2), график которой представлен на рис. 4.2. Рассмотрим уравнение Шредингера для частицы энергии в двух областях: область I – до потенциальной ступеньки ($x < 0$) и область II – после ступеньки ($x > 0$). При этом необходимо отдельно рассмотреть случай, когда энергия частицы меньше величины барьера $E < U_0$ и больше барьера $E > U_0$.

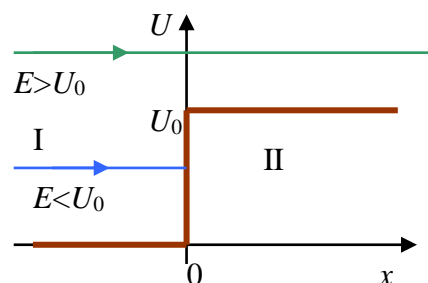


Рис. 4.2.

Этот вопрос проработать самостоятельно (см Сивухин Д.В., том 5, часть 1-ая. Атомная и ядерная физика §28).

Прямоугольная ступенька является частным случаем прямоугольного барьера.

3.4.3. Прямоугольный потенциальный барьер

Рассмотрим прямоугольный потенциальный барьер (см рис. 4.3). Его потенциальная энергия запишется:

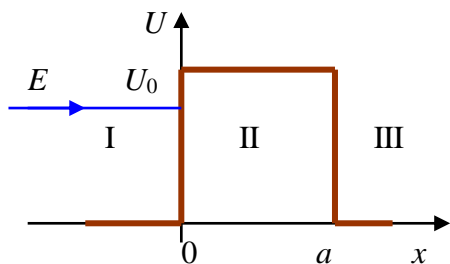


Рис. 4.3.

$$U(x) = \begin{cases} 0, & x < 0 \\ U_0, & 0 \leq x \leq a \\ 0, & x > a \end{cases} \quad (3.4.3)$$

Вначале и в основном нас будет интересовать случай, когда падающие на барьер частицы имеют полную энергию меньшую, чем высота барьера: $E < U_0$. Итак, пусть на барьер налетает поток частиц из бесконечности с левой стороны ($x = -\infty$). Разобьем пространство на три части. Далее будем решать

уравнение Шредингера последовательно в трех областях I, II и III (рис. 4.3).

В I и III областях имеем уравнение Шредингера, описывающее движение свободной частицы:

$$-\frac{\hbar^2}{2m} \frac{d^2\psi}{dx^2} = E\psi, \quad \psi'' + k^2\psi = 0, \quad k = \sqrt{\frac{2mE}{\hbar^2}} \quad (3.4.4)$$

и его решения в этих областях записываются, соответственно:

$$\text{I область} \quad \psi(x) = A \exp(ikx) + B \exp(-ikx) \quad (3.4.5)$$

$$\text{III область} \quad \psi(x) = G \exp(ikx) + F \exp(-ikx) \quad (3.4.6)$$

Во II области имеем уравнение:

$$-\frac{\hbar^2}{2m} \frac{d^2\psi}{dx^2} + U_0\psi = E\psi, \quad \psi'' - \alpha^2\psi = 0, \quad \alpha = \frac{1}{\hbar} \sqrt{2m(U_0 - E)} \quad (3.4.7)$$

и при условии $E < U_0$ получаем следующее его решение:

$$\text{II область} \quad \psi(x) = C \exp(\alpha x) + D \exp(-\alpha x) \quad (3.4.8)$$

Итак, волна, описываемая $\exp(ikx)$, распространяется в положительном направлении оси x , а волна, описываемая $\exp(-ikx)$, – в обратном направлении. В III области не будет волны, распространяющейся в обратном направлении оси x : $F \exp(-ikx)$, т.к. из области ($x = \infty$) нет потока частиц, идущего к барьеру.

Итак, полное решение можно записать в виде:

$$\psi(x) = \begin{cases} A \exp(ikx) + B \exp(-ikx) & x < 0 \\ C \exp(\alpha x) + D \exp(-\alpha x) & 0 \leq x \leq a \\ G \exp(ikx) & x > a \end{cases} \quad (3.4.9)$$

Произведем сшивание волновых функций на границах барьера, поскольку полная волновая функция и ее первая производная должны быть непрерывны. Условия на границах барьера образуют систему уравнений для определения коэффициентов A, B, C, D и G :

$$\text{При } x = 0 \quad \begin{cases} A + B = C + D \\ ik(A - B) = \alpha(C - D) \end{cases} \quad (3.4.10)$$

$$\text{При } x = a \quad \begin{cases} C \exp(\alpha a) + D \exp(-\alpha a) = G \exp(ika) \\ \alpha(C \exp(\alpha a) - D \exp(-\alpha a)) = ikG \exp(ika) \end{cases} \quad (3.4.11)$$

Введем коэффициенты *отражения* и *прохождения* как отношение плотностей потока вероятностей (2.6.8) (аналогично тому, как в оптике рассматривали плотности потока энергии для определения подобных коэффициентов):

$$\vec{j} = \frac{i\hbar}{2m} (\psi \nabla \psi^* - \psi^* \nabla \psi). \quad (3.4.12)$$

В I области плотность потока *вправо* определяется через волну, распространяющуюся вдоль оси x : $\psi_1 = A \exp(ikx)$. Подставляя ее в (3.4.12), имеем:

$$j_1 = \frac{i\hbar}{2m} (A^2 \exp(ikx)(-ik) \exp(-ikx) - A^2 \exp(-ikx)(ik) \exp(ikx)) = \frac{\hbar k}{m} A^2 \quad (3.4.13)$$

Плотность потока *влево* в I области определяется волной $\psi_2 = B \exp(-ikx)$:

$$j_2 = \frac{i\hbar}{2m} ikB^2 = -\frac{\hbar k}{m} B^2 \quad (3.4.14)$$

Коэффициент отражения определяют как отношение плотностей потоков:

$$R = \left| \frac{j_2}{j_1} \right| = \left| \frac{B}{A} \right|^2 \quad (3.4.15)$$

Коэффициент прохождения (поток вероятности прошедшей волны определяется волновой функцией $\psi = G \exp(ik_3x)$, $k_3 = k_1$) получаем аналогично:

$$T = \left| \frac{j_3}{j_1} \right| = \left| \frac{k_3 G^2}{k_1 A^2} \right| = \left| \frac{G}{A} \right|^2 \quad (3.4.16)$$

Решая систему уравнений (3.4.10)-(3.4.11) и учитывая, что все коэффициенты в (3.4.9) выражаются через A , можно найти (см Приложение 1 в конце параграфа):

$$T = \frac{4 \left(\frac{\alpha}{k} \right)^2}{\left(1 + \frac{\alpha^2}{k^2} \right)^2 Sh^2 \alpha a + 4 \frac{\alpha^2}{k^2}} = \frac{1}{1 + \frac{\left(1 + \frac{\alpha^2}{k^2} \right)^2}{4 \frac{\alpha^2}{k^2}} Sh^2 \alpha a}, \quad (3.4.17)$$

где гиперболический синус определяется:

$$Shx = \frac{e^x - e^{-x}}{2} \quad (3.4.18)$$

При этом

$$\frac{\alpha}{k} = \sqrt{\frac{U_0 - E}{E}} = \sqrt{\frac{U_0}{E} - 1}. \quad (3.4.19)$$

Откуда получаем выражение для коэффициента прохождения:

$$T = \frac{1}{1 + \frac{U_0^2 Sh^2 \alpha a}{4E(U_0 - E)}} \quad (3.4.20)$$

Исследуем коэффициенты прохождения и отражения.

1) Коэффициент прохождения не равен нулю $T \neq 0$ при полной энергии частицы меньшей высоты потенциального барьера $E < U_0$. Это явление называется *туннельным эффектом*. Качественно волновая функция изображена на рис. 4.4. В классической физике ничего подобного нет, туннельная эффект – чисто квантовый эффект.

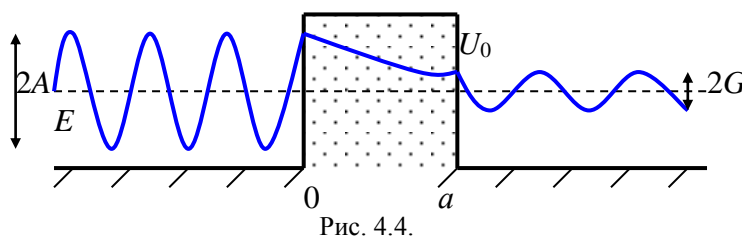


Рис. 4.4.

2) При условии $\alpha a \gg 1$ можно получить следующее выражение для коэффициента прохождения T :

$$T \approx \frac{4 \left(\frac{\alpha}{k} \right)^2 \cdot 2^2}{\left(1 + \frac{\alpha^2}{k^2} \right)^2 \exp(2\alpha a)} = \frac{16 \left(\frac{\alpha}{k} \right)^2}{\left(1 + \frac{\alpha^2}{k^2} \right)^2} \exp\left(-\frac{2}{\hbar} a \sqrt{2m(U_0 - E)} \right) \quad (3.4.21)$$

Т.е. коэффициент прохождения определяется экспонентой:

$$T \sim \exp\left(-\frac{2}{\hbar} a \sqrt{2m(U_0 - E)} \right)$$

показатель которой зависит от разности между высотой барьера и полной энергии частицы. Чем выше эта разница, тем меньше коэффициент прохождения.

3) Коэффициент прохождения T стремится к 0 в следующих предельных случаях:

- а) $a \rightarrow \infty$ (т.е. в случае потенциальной прямоугольной ступеньки)
- б) $U_0 \rightarrow \infty$ (бесконечно высокий барьер)
- в) $m \rightarrow \infty$ (тяжелая частица)
- г) $\hbar \rightarrow 0$ (переход к классическому рассмотрению)

4) Коэффициент отражения определяется соотношением (3.4.15): $R = \left| \frac{B}{A} \right|^2$. Подставляя решения системы уравнений (3.4.10)- (3.4.11), получаем:

$$R = \frac{\frac{(k^2 + \alpha^2)^2}{4k^2\alpha^2} Sh^2\alpha a}{1 + \frac{(k^2 + \alpha^2)^2}{4k^2\alpha^2} Sh^2\alpha a} = \frac{\frac{U_0^2 Sh^2\alpha a}{4E(U_0 - E)}}{1 + \frac{U_0^2 Sh^2\alpha a}{4E(U_0 - E)}} \quad (3.4.22)$$

5) Как и должно быть из закона сохранения потока вероятности, имеем:

$$R + T = 1. \quad (3.4.23)$$

Рассмотрим теперь кратко случай $E > U_0$.

При условии $E > U_0$ решение получается тем же путем, как и ранее, только в области II имеем решение, описывающее движение свободной частицы с волновым числом: $\alpha = \frac{1}{\hbar} \sqrt{2m(E - U_0)}$. В результате решения мы получаем те же формулы для коэффициентов прохождения и отражения, в которых только параметр " α " меняем на " $i\alpha$ " (вследствие изменения знака под корнем в выражении (3.7.4)) и, соответственно, " Sh " на " $-iSin$ ":

$$T = \frac{4\left(\frac{\alpha}{k}\right)^2}{\left[1 - \left(\frac{\alpha}{k}\right)^2\right]^2 Sin^2\alpha a + 4\left(\frac{\alpha}{k}\right)^2} = \frac{1}{1 + \frac{\left[1 - \left(\frac{\alpha}{k}\right)^2\right]^2}{4\left(\frac{\alpha}{k}\right)^2} Sin^2\alpha a} \quad (3.4.24)$$

$$R = \frac{\left[1 - \left(\frac{\alpha}{k}\right)^2\right]^2 Sin^2\alpha a}{\left[1 - \left(\frac{\alpha}{k}\right)^2\right]^2 Sin^2\alpha a + 4\left(\frac{\alpha}{k}\right)^2} \quad (3.4.25)$$

Таким образом, в общем случае даже при энергиях частицы выше высоты барьера мы получаем коэффициент отражения не равный нулю $R \neq 0$, а коэффициент прохождения $T < 1$. Итак, частица может отразиться от барьера и при энергии, превышающей величину барьера, $E > U_0$, когда по классической механике частица проходит с достоверностью над барьером.

Однако есть такие энергии частицы (характерные энергии), когда коэффициент отражения равен 0, а коэффициент прохождения равен 1. Эти энергии находятся из условия:

$$Sin\alpha a = 0 \Rightarrow \alpha a = n\pi \Rightarrow \alpha^2 = \frac{2m}{\hbar^2}(E - U_0)$$

$$E_n = U_0 + \frac{\pi^2 \hbar^2}{2ma^2} n^2 \quad (3.4.26)$$

При таких энергиях частица пролетает над барьером с достоверностью и при квантовом рассмотрении.

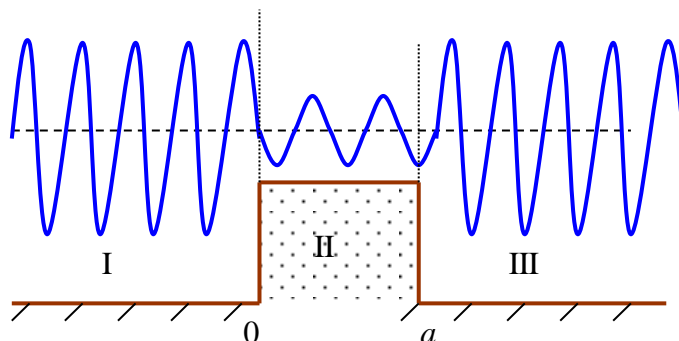


Рис. 4.5.

Заметим, что при этом целое число полувольт де Бройля укладывается на барьере, чему соответствует условие $\alpha a = n\pi$ (см рис. 4.5).

Примечание 1. Аналогичное решение для коэффициентов прохождения и отражения получаем для барьера в виде прямоугольной ямы (рис. 4.6), при этом в формулах меняется только " U_0 " на " $-U_0$ ". Отметим, что и в этой задаче в общем случае коэффициент отражения не равен нулю, хотя по классическим представлениям частица проходит над ямой с достоверностью. Коэффициент прохождения обращается в единицу только для таких энергий, когда размер ямы соответствует целому числу полувольт де Бройля.

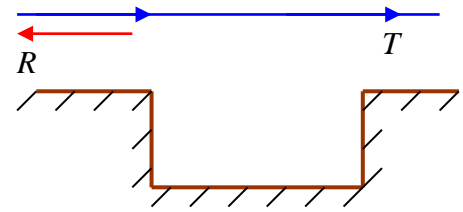


Рис. 4.6.

3.4.4. Барьер произвольной формы.

Если барьер $U = U(x)$ имеет произвольную форму, то задача о прохождении частицы усложняется, однако часто можно решить ее приближенно. Пусть $E = const$ и тогда равенство $E = U(x)$ определяет 2 точки a и b , где частица классически "входит" под барьер и "выходит" из барьера (см рис. 4.7). Сам барьер можно представить в виде суммы прямоугольных барьеров, причем каждый из них рассматривать отдельно как ранее.

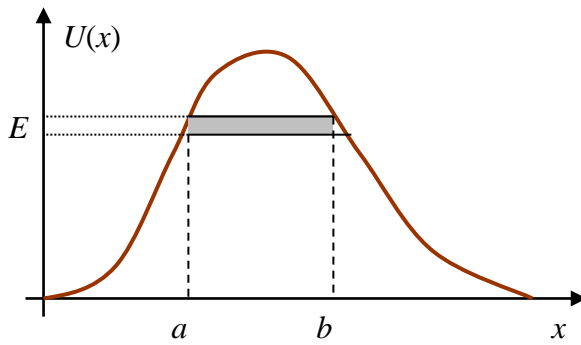


Рис. 4.7.

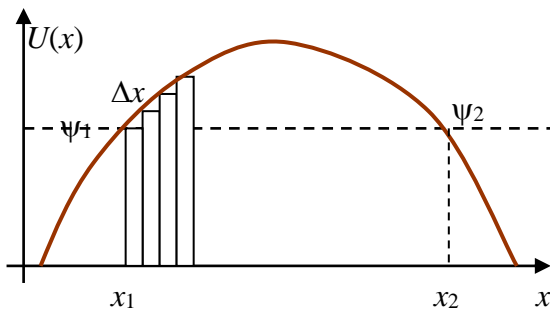


Рис. 4.8.

Приближенно задачу можно решить, если барьеры достаточно широкие, и при этом импульс $p(x)$ и соответствующая волна де Бройля $\lambda = 2\pi\hbar/p(x)$ медленно меняются на расстоянии $\sim \lambda$. То есть можно записать это условие математически:

$$\lambda \left| \frac{d\lambda}{dx} \right| \ll \lambda \quad (3.4.27)$$

Соотношение (3.4.27) определяет условие применения, так называемого **квазиклассического приближения**.

В самом деле, воспользуемся описанием изменения волновой функции при распространении частицы в пространстве с постоянным потенциалом, а именно:

$$\psi(x) = \psi_0 e^{\frac{i}{\hbar} p x}$$

где $p(x) = const$ (временной множитель $e^{\frac{i}{\hbar} E t}$ опустили, т.к. он не существен для определения координатной зависимости).

Разбивая барьер на маленькие прямоугольные барьеры шириной Δx , как показано на рис. 4.8, можно считать, что на ширине Δx такого барьера $U(x) = const$ и

импульс частицы не меняется $p(x) = \sqrt{2m(E - U)} \approx const$. Тогда можно записать последовательное приближенное изменение волновой функции при переходе от одного барьера к другому:

$$\psi(x + \Delta x) \approx \psi(x) e^{\frac{i}{\hbar} p(x) \Delta x}$$

$$\psi(x + 2\Delta x) \approx \psi(x + \Delta x) e^{\frac{i}{\hbar} p(x + \Delta x) \Delta x}$$

$$\psi(x + 3\Delta x) \approx \psi(x + 2\Delta x) e^{\frac{i}{\hbar} p(x + 2\Delta x) \Delta x}$$

и так далее

Тогда связь волновой функции на выходе из барьера с волновой функцией на входе записывается:

$$\Psi_2 \approx \Psi_1 \exp\left(\frac{i}{\hbar} [p(x)\Delta x + p(x+\Delta x)\Delta x + p(x+2\Delta x)\Delta x + \dots]\right) = \Psi_1 \exp\left(\frac{i}{\hbar} \int_{x_1}^{x_2} p(x) dx\right) \quad (3.4.28)$$

Коэффициент прохождения через барьер произвольной формы приближенно равен:

$$T \approx \left| \frac{\Psi_2}{\Psi_1} \right|^2 \approx \left| \exp\left(\frac{i}{\hbar} \int_{x_1}^{x_2} p(x) dx\right) \right|^2 = \left| \exp\left(-\frac{1}{\hbar} \int_{x_1}^{x_2} \sqrt{2m(U(x)-E)} dx\right) \right|^2$$

Здесь мы поменяли местами потенциальную и полную энергии частицы. Окончательно имеем:

$$T = T_0 \exp\left\{-\frac{2}{\hbar} \int_a^b \sqrt{2m(U(x)-E)} dx\right\} \quad (3.4.29)$$

Это выражение позволяет найти коэффициент прохождения через барьер произвольной формы в квазиклассическом приближении.

Приложение 1. Покажем, как получается одно из решений системы уравнений (3.4.10)-(3.4.11). В первой паре уравнений (3.4.10) сложим два уравнения, избавляясь от коэффициента B :

$$2A = -i \frac{\alpha}{k} (C - D) + C + D = C \left(1 - i \frac{\alpha}{k}\right) + D \left(1 + i \frac{\alpha}{k}\right)$$

Во второй паре уравнений (3.4.11) делим на α второе уравнение, затем складываем и вычитаем, получая следующие два соотношения:

$$\begin{aligned} 2Ce^{\alpha a} &= Ge^{ika} \left(1 + i \frac{k}{\alpha}\right) \\ 2De^{-\alpha a} &= Ge^{ika} \left(1 - i \frac{k}{\alpha}\right) \end{aligned}$$

Выражая отсюда $2C$ и $2D$, подставим их в предыдущее уравнение:

$$4A = \left(1 - i \frac{\alpha}{k}\right) \left(1 + i \frac{\alpha}{k}\right) Ge^{ika-\alpha a} + \left(1 + i \frac{\alpha}{k}\right) \left(1 - i \frac{\alpha}{k}\right) Ge^{ika+\alpha a}$$

Преобразуем, раскрывая скобки и перегруппируя:

$$4A = 2Ge^{ika} (e^{\alpha a} + e^{-\alpha a}) + iGe^{ika} \left(\frac{\alpha}{k} - \frac{k}{\alpha}\right) (e^{\alpha a} - e^{-\alpha a})$$

Введем гиперболический косинус и гиперболический синус:

$$Ch\alpha a = \frac{1}{2} (e^{\alpha a} + e^{-\alpha a}), \quad Sh\alpha a = \frac{1}{2} (e^{\alpha a} - e^{-\alpha a})$$

Для них выполняется теорема Пифагора:

$$Ch^2\alpha a - Sh^2\alpha a = 1$$

Тогда получаем для $2A$:

$$2A = 2Ge^{ika} Ch\alpha a + iGe^{ika} \left(\frac{\alpha}{k} - \frac{k}{\alpha}\right) Sh\alpha a$$

Возведем по модулю в квадрат:

$$4A^2 = G^2 \left[4Ch^2\alpha a + \left(\frac{\alpha}{k} - \frac{k}{\alpha}\right)^2 Sh^2\alpha a \right]$$

Откуда раскрывая скобки и учитывая теорему Пифагора, получаем для отношения квадратов:

$$\frac{G^2}{A^2} = \frac{4}{4 + \left(\frac{\alpha}{k} + \frac{k}{\alpha}\right)^2 \text{Sh}^2 \alpha a} = \frac{4 \frac{\alpha^2}{k^2}}{\left(1 + \frac{\alpha^2}{k^2}\right)^2 \text{Sh}^2 \alpha a + 4 \frac{\alpha^2}{k^2}}$$

что совпадает с (3.4.24).
